

بِسْمِ اللّٰهِ الرَّحْمٰنِ الرَّحِيْمِ

وزارت علوم، تحقیقات و فناوری
دانشگاه تحصیلات تکمیلی علوم پایه
گوازنگ - زنجان



رفتارهای دینامیکی پیچیده در سیستم‌های اخترفیزیکی

پایاننامه کارشناسی ارشد

سعید تقوی وله موزوئی

استاد راهنما: دکتر یوسف عزیزی

۱۳۹۳ فروردین ۱۸

تقدیم به همه آنهايی که می خواهند بیشتر بدانند.

مشکر و قدردانی

در اینجا از خانواده خوبیم که در همه مراحل زندگی از من حمایت کردند تشکر می‌کنم. همچنین از دوستان عزیزم که در این دوره خاطرات خوب زیادی با هم داشتیم نیز تشکر می‌کنم و عمیق‌ترین تشکرات خویش را تقدیم می‌کنم به استاد بزرگوارم دکتر عزیزی که این پروژه را با همراهی و راهنمایی‌های ایشان انجام دادم.

چکیده

در این پایان نامه ما به بررسی مفاهیم سیستم‌های دینامیکی و برخی از ابزارهای مورد استفاده برای مطالعه این سیستم‌ها مثل نگاشت پوانکاره و نمای لیاپانوف پرداختیم؛ و در ادامه سیستم‌های آشوبناک و شرایط لازم برای ظهور آشوب در یک سیستم دینامیکی و خواص فرکتالی سیستم‌های آشوبناک را مرور کردیم. در فصل سوم به چند مثال از سیستم‌های اختوفیزیکی که رفتارهای دینامیکی پیچیده‌ای دارند پرداختیم و در فصل آخر نگاهی به مسئله فرار یکی از ذرات درون یک سیستم سه‌تایی و ساختار ایجاد شده‌ی مربوط به پیکربندی‌های منجر به فرار داشتیم.

واژه‌های کلیدی: سیستم‌های دینامیکی، آشوب، رفتارهای دینامیکی پیچیده، سیستم سه ذره‌ای.

فهرست

چکیده	پنج
۱	۱	۱ سیستم‌های دینامیکی
۱	۱	۱.۱ مقدمه
۹	۲۰	۲.۱ دسته‌بندی نقاط بحرانی
۱۷	۳۰	۳.۱ ابزارها
۱۷	۱۰۳.۱	۱.۳.۱ نگاشت پوانکاره
۲۳	۲۰۳.۱	۲.۳.۱ بدست آوردن نگاشت پوانکاره یک سیستم چهار بعدی
۲۸	۳۰۳.۱	۳.۳.۱ نمای لیاپانوف
۳۰	۴۰۳.۱	۴.۳.۱ محاسبه عددی نمای لیاپانوف برای یک سیستم دو بعدی
۳۴	۴۰۱	۴.۱ فرکتال‌ها و ابعاد فرکتالی
۴۰	۲	۲ آشوب
۴۱	۱.۲	۱.۲ خواص سیستم‌های آشوبناک
۴۱	۱.۱.۲	۱.۱.۲ حساسیت نسبت به شرایط اولیه
۴۴	۲.۱.۲	۲.۱.۲ آمیختگی توپولوژیکی یا تعدی توپولوژیکی
۴۵	۳.۱.۲	۳.۱.۲ تراکم مدارهای دوره‌ای

۴۶	خواص فرکتالی حرکت آشوبناک و جاذب‌های عجیب	۲.۲
۵۱	۳ مدل‌های اخترفیزیکی ساده	
۵۲	دینامیک جمعیت ستاره‌ای	۱.۳
۵۶	نوسانات غیرخطی در مدل تک منطقه‌ای برای ستاره‌های تپنده	۲.۳
۶۳	مدار ستاره‌ها در یک پتانسیل کهکشانی	۳.۳
۷۰	۴ فرار از سیستم سه جسمی گرانشی	
۷۶	فرار در مسئله سه جسمی	۱.۴
۸۷	ساختارهای خودمتشابه جواب‌های مقید در فضای فاز سه جسم گرانشی	۲.۴
۸۸	مرزهای حوزه فرکتالی	۱.۲.۴
۸۹	نتایج	۲.۲.۴
۹۲	آ معرفی برنامه <i>Catena</i>	
۹۹	واژه‌نامه فارسی به انگلیسی	

فهرست تصاویر

۱.۱	[الف] پرتره فاز سیستم ۴.۱ ، [ب] پرتره فاز سیستم ۷.۱	۵
۲.۱	پرتره فازهای مختلف مربوط به حالت‌های فهرست شده در رابطه ۱ : پیکان‌ها	
۳.۱	سطح مقطع پوانکاره و نگاشت پوانکاره برای دو مدار دوره‌ای و غیر دوره‌ای [۷] .	۱۸
۴.۱	(سمت راست) تعدادی نگاشت پوانکاره از جاذب عجیب روسler که توسط صفحاتی که بر صفحه $y - x$ عمود هستند و با محور x زاویه‌های (a) -60° درجه، (b)	
۴.۱	درجه، (c) 60° درجه و (d) 120° درجه می‌سازند تعریف شده‌اند. (چپ) نمای جانی و نمای صفحه $y - x$ یک مسیر نوعی با اضافه کردن مقاطع پوانکاره [۸] .	
۵.۱	(الف) مسیر $x(t)$ که با مقطع پوانکاره P در ۴ زمان مختلف برخورد می‌کند و چرخه بسته می‌شود. (ب) جریان $x(t_k)$ شکل الف که توسط نگاشت پوانکاره نشان داده شده است. $x_{n+1} = f(x_n)$. در این مثال	۱۹
۶.۱	مدار x_1 دوره‌ای و از یک ۴ نقطه دوره‌ای تشکیل شده است [۸]	۲۰
۷.۱	نقطه ثابت از نوع گره پایدار	۲۱
۸.۱	نقطه ثابت از نوع گره ناپایدار	۲۱
۹.۱	نقطه ثابت از نوع کانون پایدار	۲۲

۲۳	۱۰.۱ نقطه ثابت از نوع کانون ناپایدار
۲۴	۱۱.۱ نقطه ثابت از نوع مرکز
۲۶	۱۲.۱ محل برخورد مدار با مقطع پوانکاره
۲۸	$E = ۰/۰۲ [۹]$	۱۳.۱ نگاشت پوانکاره سیستم هنون-هیلزبا انرژی
۱۴.۱	محاسبه نمای لیاپانوف در زمان طولانی به مقیاس بندی دوباره جدایی بین دو مسیر
۲۹	نیاز دارد.
۳۲	۱۵.۱ تنظیم دوباره مدارها بعد از هر مرحله تحول [۱۲].
۳۳	$B = ۰/۳, ۰ < C < ۱/۴$	۱۶.۱ نمای لیاپانوف محاسبه شده برای نگاشت هنون،
۳۴	۱۷.۱ نمای لیاپانوف محاسبه شده برای نگاشت لوجستیک.
۳۵	۱۸.۱ ساختن مجموعه کانتور [۱۴].
۳۹	۱۹.۱ مدار فوتون‌ها به دور دو سیاهچاله [۱۳].
۴۲	$x_0 = ۰/۳۵$	۱.۲ سری تولید شده توسط نگاشت لوجستیک با دو مقدار اولیه متفاوت $x_0 = ۰/۳۵$
۴۴	۲.۲ یک سیستم دینامیکی ساده که توسط دو برابر کردن مکرر یک مقدار اولیه تولید می‌شود؛ با وجود این که این سیستم همه جا به شرایط اولیه وابسته است اما رفتار آشوبناک ندارد.
۴۷	۳.۲ اثر کشیدگی و پیچ خوردن روی بخشی از فضای فاز [۳].
۴۸	۴.۲ تاثیر نگاشت بیکر روی شکل یک صورت [۳].
۴۹	۵.۲ سه شکل اول تولید شده از مربع واحد تحت نگاشت بیکر [۳].
۴۹	۶.۲ ضخامت نوارهای جاذب A در مرحله n اُم اعمال نگاشت بیکر [۳].
۵۰	۷.۲ جاذب لورنر رفتار آشوبناک دارد. در شکل می‌توان حساسیت نسبت به شرایط اولیه درون ناحیه‌ای از فضای فاز که توسط جاذب اشغال شده است را دید [۲۲].

۱۰.۳	پیدا کردن نقاط ثابت یک نگاشت به روش هندسی. در شکل [a] سه مرحله اول نشان داده شده‌اند که در مراحل بعدی با توجه به پایداری نقطه ثابت x^* به طور مارپیچ به سمت داخل (شکل [b]) یا خارج (شکل [c]) حرکت می‌کنند. [۲۲]	۵۴
۲۰.۳	نمودار دوشاخگی نگاشت لوگستیک. محور افقی پارامتر کنترل r و محور عمودی مقدار حدی مربوط به پارامتر کنترل مربوطه است.	۵۶
۳۰.۳	طرحی از مدل تک منطقه‌ای نوسان ستاره بدون ناحیه یونیزه که از هسته‌ای به جرم M ، پوسته‌ای کروی به جرم m و شعاع R تشکیل شده است؛ فضای بین هسته تا پوسته با گازی بدون جرم با فشار P پر شده است. [۲۸]	۵۷
۴۰.۳	شتاب شعاع لایه خارجی برای مقادیر مختلف انتروپی.	۵۹
۵۰.۳	شعاع بر حسب زمان برای مقادیر متفاوت: $(a)\epsilon = ۰/۰۴$, $(b)۰/۱۵$, $(c)۰/۲۰۵$, $(d)۴/۰$	۶۰
۶۰.۳	طرح فضای فاز برای جواب‌های نشان داده شده در شکل ۵.۳ روی صفحه (R, \dot{R})	
۶۱ [۲۷]	
۷۰.۳	درخشنندگی بر حسب زمان برای جواب‌هایی که در شکل ۶.۳ توصیف شده‌اند [۲۷].	۶۲
۸۰.۳	نگاشت پوانکاره سیستم هنون-هیلز با انرژی‌های متفاوت [۲۶].	۶۷
۹۰.۳	مساحت مربوط به جزایر پایداری [۲۶].	۶۸
۱۰۰.۳	محاسبه نمای لیاپانوف برای سیستم هنون-هیلز در انرژی‌های مختلف.	۶۹
۱۱۰.۳	شکل‌های خودمتشابه در نگاشت پوانکاره سیستم هنون-هیلز با انرژی $E = ۰/۱۲۵۰۰$.	
۶۹	
۱۰.۴	پیکربندی اولیه مسئله فیثاغورس	۷۲
۲۰.۴	مسیرهای مسئله فیثاغورس، از آنجا که فرار صورت گرفته و اجرام خارج از چارچوب شکل‌ها وجود دارند دو شکل نهایی شبیه هستند.	۷۴
۳۰.۴	پراکندگی با تشدید در مسئله سه ذره‌ای [۳۰].	۷۵

- ۴.۴ تحول زمانی سیستم سه ذره‌ای برای دو سیستم متفاوت با تغییرات کمی در شرایط اولیه. محور عمودی فاصله سه ذره تا مرکز جرم سیستم و محور افقی زمان را نشان می‌دهد.
- ۷۷ ۴.۴
- ۷۸ پیکربندی مسئله سه ذره‌ای. ۵.۴
- ۶.۴ مخروط فرار، ذره گریزان در رأس مخروط قرار دارد و چون باید در گذشته برهمنکش قوی‌ای با دوتایی انجام داده باشد پس از درون مخروط آمده است.
- ۸۱ مقایسه رابطه ۲۵.۴ با داده‌های عددی حاصل از شبیه‌سازی‌ها. در شبیه‌سازی‌ها همه جرم‌ها برابر بودند. در مجموعه اول (+) ذره سوم به طور مستقیم درون دوتایی سقوط می‌کرد؛ و در مجموعه دوم (◊) ذره سوم مولفه سرعت عرضی هم دارد. کمیت رسم شده $|E_r|/|E_B| = z$ است و با تغییر متغیر توزیع انتظاری باید به شکل $f(z) = \frac{3}{5}z^{2/5}$ باشد که با خطچین نشان داده شده است. نقاط نشان داده شده از دو مجموعه ۱۰۰۰۰ تابی شرایط اولیه تولید شده‌اند و بنابراین خطای کمی دارند که نشان داده نشده است [۳۴].
- ۸۶ ۸.۴ محک زدن توزیع خروج از مرکز رابطه ۲۶.۴ با استفاده از ۱۰۰۰۰ مدار محاسبه شده به کمک رایانه با تکانه زاویه‌ای $15^\circ / 0^\circ$ [۳۴] $L = [$
- ۸۷ طرح دو جاذب و مرز بین حوزه‌های جذب‌شان در فضای فاز. ۹.۴
- ۹۰ ۱۰.۴ مدار حرکت سه جسم برای چند شرط اولیه متفاوت [۳۸].
- ۹۱ ۱۱.۴ از ۴۰۰ شرط اولیه بررسی شده، برای نقاطی که مشخص کردیم مسئله سه ذره جواب مقید دارد [۳۸].
- ۹۱ ۱۲.۴ از ۴۰۰۰ شرط اولیه بررسی شده، برای نقاطی که مشخص کردیم مسئله سه ذره جواب مقید دارد [۳۸].

فصل اول

سیستم‌های دینامیکی

۱.۱ مقدمه

در این پایان‌نامه عمدتاً با سیستم‌های دینامیکی هامیلتونی سروکار داریم که گروه خاصی از سیستم‌های دینامیکی پیوسته را در بر می‌گیرند. بنابراین به جای شروع از تعریف کلی سیستم‌های دینامیکی به مواردی می‌پردازیم که در این پژوهه موضوع بحث ما خواهند بود. سیستم‌های دینامیکی را مجموعه‌ای از m معادله دیفرانسیل معمولی با متغیرهای x_1, x_2, \dots, x_m تعریف می‌کنیم.

$$\frac{dx_i}{dt} = X_i(x_1, x_2, \dots, x_m, t), i = 1, 2, \dots, m \quad (1.1)$$

و در نمادگذاری برداری

$$\dot{\mathbf{x}} = \mathbf{X}(\mathbf{x}, t) \quad (2.1)$$

در رابطه ۱.۱ متغیر مستقل t زمان را مشخص می کند و فرض می کنیم که m تابع X_i در ۱
بعد مناسب تعریف شده‌اند و آنجا شرایطی را ارضا می کنند که تحت آن قضیه وجود و یکتایی جواب
برقرار باشد. فضای m بعدی (x_1, x_2, \dots, x_m) فضای فاز^۱ نامیده می شود و در حال حاضر همان فضای
اقلیدسی \mathbb{R}^m است. اگر توابع X_i ، که میدان برداری \mathbf{X} را تعریف می کنند، به طور صریح^۲ به زمان
بستگی نداشته باشند، سیستم مستقل از زمان^۳ نامیده می شود. در حالت کلی، یکی از جواب‌های
معادله‌ی ۱.۱ بردار $(\mathbf{x}(\mathbf{x}_0), t_0, t)$ خواهد بود که شرط اولیه $\mathbf{x}(\mathbf{x}_0, t_0) = \mathbf{x}_0$ در آن صدق می
کند. برای یک سیستم مستقل از زمان، خواص انتقال باعث می شود که: اگر $\mathbf{x}(t)$ یکی از جواب‌ها
باشد، آنگاه $\mathbf{x}(t - \alpha)$ با α -ی ثابت نیز یکی از جواب‌ها است. اثبات این مسئله سرراست است، زیرا
در این حالت سمت راست رابطه ۲.۱ وابسته به زمان نمی باشد.

در مورد سیستم مستقل از زمان، می توانیم یکی از x_i ها، برای مثال x_1 (اگر $\mathbf{x}_0 \neq 0$ به ازای هر \mathbf{x})،
را بهجای t به عنوان متغیر مستقل جدید استفاده کنیم و $1 - m$ معادله بدست آوریم

$$\frac{dx_2}{dx_1} = \frac{X_2(\mathbf{x})}{X_1(\mathbf{x})}, \quad \frac{dx_3}{dx_1} = \frac{X_3(\mathbf{x})}{X_1(\mathbf{x})}, \quad \dots, \quad \frac{dx_m}{dx_1} = \frac{X_m(\mathbf{x})}{X_1(\mathbf{x})} \quad (3.1)$$

جواب مجموعه ۳.۱ در فضای فاز، منحنی فاز نامیده می شود.

اگر قضیه وجود و یکتایی جواب برای مجموعه ۱.۱ برقرار باشد، برای مجموعه ۳.۱ هم برقرار خواهد
بود؛ بنابراین منحنی‌های فاز همیگر را قطع نمی کنند. باید به خاطر داشته باشیم که جواب‌های
مختلف $\mathbf{x}(t)$ و $\mathbf{x}(t - \alpha)$ مربوط به منحنی فاز یکسان می باشند. اگر نقطه $\mathbf{a} = \mathbf{x}(t_0)$ وجود داشته باشد
که $\mathbf{X}_i(\mathbf{a}) \equiv 0$ آنگاه نقطه $(a_1, \dots, a_m) = \mathbf{a} = (a_1, \dots, a_m)$ نقطه بحرانی^۴ یا نقطه تکین^۵ نامیده می شود. واضح

^۱ Phase space

^۲ Explicitly

^۳ Autonomous

^۴ Critical point

است که در چنین نقطه‌ای کاهش دادن سیستم به یک مجموعه $m - 1$ معادله‌ای، با حذف کردن زمان، آنچنان که در ۱.۳ انجام دادیم امکان پذیر نمی‌باشد. نقطه بحرانی را می‌توان به عنوان منحنی فازی که در یک نقطه تبهگن شده است در نظر گرفت. علاوه بر این، اگر در نقطه بحرانی $(\forall t) \dot{x}_i = 0$ باشد آنگاه نقطه بحرانی مربوط به جواب تعادلی است؛ $x_i(t) = a_i (\forall t)$ جواب یکتاًی از سیستم است که از a می‌گذرد، و اگر $y(t) \neq a$ جوابی متمایز باشد، $y(t) \neq a$ خواهد بود. با این وجود، ممکن است که برای $t \rightarrow \infty$ بعضی از جواب‌ها به حالت تعادلی میل کنند؛ در این حالت جواب تعادل، جاذب^۱ نامیده می‌شود. به صورت دقیق‌تر، یک نقطه بحرانی $x = a \in \mathbb{R}^m$ جاذب مثبت^۲ نامیده می‌شود اگر در همسایگی $\Omega_a \subset \mathbb{R}^m$ نقطه a ، نقطه $x(t)$ وجود داشته باشد که در حد $t \rightarrow +\infty$ از $x \rightarrow a$ میل کند. وقتی $t \rightarrow -\infty$ از a میل کند، جاذب منفی^۳ خواهیم داشت. اگر جواب $x(t) = x$ در بازه $I \subset \mathbb{R}$ با مقادیر $x(t) \in D \subset \mathbb{R}^m$ به صورتی تعریف شود که $x(t+T) = x(t)$ برقرار باشد، آنگاه x جواب دوره‌ای^۴ با دوره‌ی T نامیده می‌شود. از $x(t) = x(t+T)$ می‌توان دریافت که برای جواب دوره‌ای x_1, x_2, \dots, x_m در زمان t دوباره مقادیری که در t داشتند را می‌گیرند، نتیجه می‌گیریم که جواب دوره‌ای موجب منحنی فاز بسته^۵ (یا چرخه^۶) می‌شود. با استفاده از خواص انتقال سیستم‌های مستقل و این حقیقت که چندین جواب انتقال داده شده با منحنی فاز یکسانی متناظر هستند، می‌توان نشان داد که: هر منحنی فاز بسته با یک جواب دوره‌ای متناظر است. برای مثال، سیستم

^۵ Singular point

^۶ Attractor

^۷ Positive attractor

^۸ Negative attractor

^۹ Periodic solution

^{۱۰} Closed phase curve

^{۱۱} Cycle

زیر را در نظر بگیرید:

$$\dot{x}_1 = x_2, \quad \dot{x}_2 = -x_1 \quad (4.1)$$

جواب‌ها ترکیب‌های خطی از $\sin t$ و $\cos t$ هستند و برای $\mathbf{x} \equiv (x_1, x_2) \in \mathbb{R}^2$ جوابی دوره‌ای با دوره $T = 2\pi$ داریم. منحنی‌های فاز با تبدیل ۴.۱ به

$$\frac{dx_2}{dx_1} = -\frac{x_1}{x_2} \quad (5.1)$$

بدست می‌آیند. با انتگرال‌گیری از ۵.۱ خواهیم داشت:

$$x_1^2 + x_2^2 = const. \quad (6.1)$$

در این مثال، منحنی‌های فاز دایره‌های متعددالمرکز هستند.

آشکار است که نقطه بحرانی $a, b \in \mathbb{R}$ و $x_2 = -as\int t + b\cos t$ ، $x_1 = a\cos t + b\sin t$ از $x_1 = x_2 = 0$ جاذب نیست. در عوض اگر سیستم زیر را در نظر بگیریم

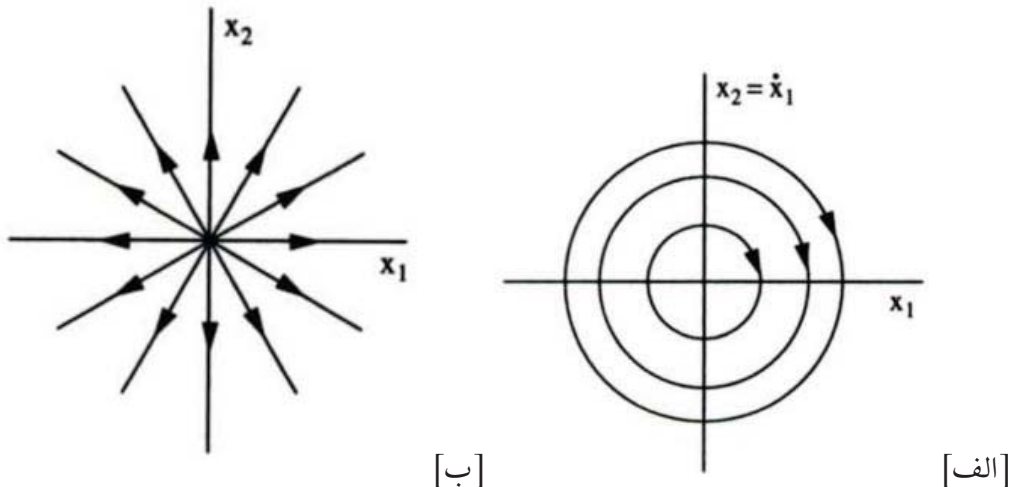
$$\dot{x}_1 = x_1, \quad \dot{x}_2 = x_2 \quad (7.1)$$

منحنی‌های فاز

$$\frac{dx_2}{dx_1} = \frac{x_2}{x_1} \quad (8.1)$$

خواهند بود و با انتگرال‌گیری خواهیم داشت $x_2 = \alpha x_1$ ، $\alpha \in \mathbb{R}$. در این سیستم منحنی‌های فاز

خطهای صافی هستند که از مبدأ می‌گذرند. $x_1 = c_1 e^t$ و $x_2 = c_2 e^t$ بدست می‌آیند به طوری که جواب تعادلی $(0, 0)$ جاذبی منفی است. پیکان‌های درون شکل جهت حرکت نقاط فاز را با افزایش زمان نشان می‌دهند. این حرکت جریان فاز^۱ نامیده می‌شود و طرح مجموعه‌ای از منحنی‌های فاز (متناظر با شرایط اولیه متفاوت) را پرتره فاز^۲ می‌نامند.



شکل ۱.۱: [الف] پرتره فاز سیستم ۴.۱، [ب] پرتره فاز سیستم ۷.۱.

در دو مثالی که ارائه شد، این امکان وجود داشت که با انتگرال‌گیری از سیستم ۳.۱ رابطه بین مولفه‌های x را پیدا کرد. این رابطه یک منیفولد $m - 1$ بعدی، زیرمجموعه فضای فاز m بعدی را تعریف می‌کند و سطح تراز ثابت^۳ را به صورت تابعی از x_1, x_2, \dots, x_m مشخص می‌کند. این سطح تراز ثابتی را که در حالت کلی می‌توان به صورت

$$F(x_1, x_2, \dots, x_m) = \text{const.} \quad (9.1)$$

^۱ Phase flow

^۲ Phase portrait

^۳ Level set

نشان داد، منیفولد انتگرال ^۱ و تابع $F(x)$ را انتگرال اول ^۲ سیستم $\dot{x} = X(x)$ می‌نامند. به‌طور کلی، تابع حقیقی و مشتق‌پذیر $F(x)$ را انتگرال اول سیستم $\dot{x} = X(x)$ می‌نامیم اگر در امتداد یکی از جواب‌های سیستم ثابت بماند، یعنی

$$\frac{dF}{dt} = \frac{\partial F}{\partial x_1} \dot{x}_1 + \frac{\partial F}{\partial x_2} \dot{x}_2 + \dots + \frac{\partial F}{\partial x_m} \dot{x}_m = 0 \quad (10.1)$$

وجود یک انتگرال اول باعث کاهش یافتن ابعاد فضای فاز در دسترس سیستم می‌شود. در نتیجه منحنی‌های فاز، زیر مجموعه‌هایی از این منیفولد $m - 1$ بعدی هستند. در دو موردی که دیدیم، با $m = 2$ ، منحنی‌های فاز با منیفولد انتگرال منطبق شدند.

از آنجایی که مثال‌هایی که تا اینجا در نظر گرفتیم بسیار ساده بودند (سیستم‌های خطی با ضرایب ثابت مثل ۴.۱ و ۷.۱)، روش انتگرال‌گیری بر پایه کم کردن مرتبه سیستم با استفاده از انتگرال اول ممکن است روش دست و پا گیری به نظر برسد. با این حال، در موارد پیچیده‌تر ضروری است، بنابراین توضیح کاربردهایش ارزشمند است. سیستم ۴.۱، نوسانگر هماهنگ، را در نظر بگیرید. همان طور که می‌دانیم، جواب را می‌توان به صورت $x_1 = A\cos(t + \phi)$ و $x_2 = \dot{x} = A\sin(t + \phi)$ نوشت. از انتگرال اول ۶.۱ که آن را به صورت زیر بازنویسی می‌کنیم

$$\frac{1}{2}(x_1^2 + x_2^2) = I_1 \quad (11.1)$$

^۱ Integral manifold

^۲ First integral

و از نخستین رابطه ۱۴.۱ بدست می‌آوریم:

$$\frac{dx_1}{dt} = \pm \sqrt{2I_1 - x_1^2} \quad (12.1)$$

که با انتگرال‌گیری بدست می‌آوریم

$$\int dt = \pm \int \frac{dx_1}{\sqrt{2I_1 - x_1^2}} \quad (13.1)$$

یعنی

$$t + I_2 = \arcsin\left(\frac{x_1}{\sqrt{2I_1}}\right) \quad (14.1)$$

در این رابطه I_2 ثابت انتگرال‌گیری است. سرانجام با معکوس کردن ۱۴.۱ خواهیم داشت

$$x_1 = \sqrt{2I_1} \sin(t + I_2) \quad (15.1)$$

اگر $A = \sqrt{2I_1}$ و $\phi = I_2$ باشد، جواب بدست آمده با جوابی که پیش از این ذکر شد منطبق است.

ثابت‌های انتگرال‌گیری نیز با شرایط اولیه مشخص می‌شوند؛ اگر $x_1(0) = x_1^0$ و $\dot{x}_1(0) = \dot{x}_1^0$ خواهیم

داشت:

$$I_1 = \frac{1}{2}(x_1^0)^2 + \frac{1}{2}(\dot{x}_1^0)^2 = \frac{1}{2}(a^2 + b^2), \quad I_2 = \phi = \arctan \frac{x_1^0}{\dot{x}_1^0} = \arctan \frac{a}{b}. \quad (16.1)$$

به طور خلاصه فرمایندی که دنبال کردیم شامل چهار مرحله می‌شود:

آ) پیدا کردن انتگرال اول؛

ب) کاهش دادن مرتبه سیستم توسط انتگرال حرکت پیدا شده؛

پ) انتگرال‌گیری از سیستم کاهش یافته؛

ت) معکوس کردن و بدست آوردن جواب.

بدیهی است که، برای انتگرال‌گیری صریح از یک سیستم مرتبه m به $1 - m$ انتگرال اول نیاز داریم.

طبق تعریف ۹.۱ تا به حال فقط انتگرال‌های اول را در نظر گرفته بودیم که فقط تابعی از x_1, x_2, \dots, x_m بودند و تابع زمان t نبودند. با این حال، بعضی اوقات انتگرال‌هایی وجود دارند که به زمان هم بستگی دارند. برای توضیح این موضوع یکی از بهترین مثال‌ها سیستمی است که یک حرکت نوسانی میرا را

توصیف می‌کند:

$$\dot{x}_1 = x_2, \quad \dot{x}_2 = -x_1 - \lambda x_2, \quad (17.1)$$

جایی که λ یک ثابت مثبت است. انتگرال اول به صورت زیر خواهد بود:

$$e^{\lambda t}(x_1^2 + x_2^2 + \lambda x_1 x_2) = I_1 = \text{const.} \quad (18.1)$$

و همانطور که مشاهده می‌شود این انتگرال حرکت به زمان وابسته است.

ادامه بحث در مورد سیستم ۱۷.۱ برای ما جذابیت ندارد، اما باید سیستم‌های ۴.۱ و ۱۷.۱ را برای پیش‌بینی گروه‌بندی‌ای که خیلی مهم است استفاده کنیم: تفاوت بین سیستم‌های «پایستار» و «ناپایستار». اگر $\ddot{x} = -x - \lambda x$ و $\dot{x}_1 = x_2$ قرار دهیم، دو سیستم ذکر شده به ترتیب با $\ddot{x} = -x - \lambda \dot{x}$ و $\ddot{x}_1 = \dot{x}_2$ معادل خواهند شد. سیستمی را پایستار می‌نامیم که

$$\ddot{x} = f(x) \quad (19.1)$$

و ناپایستار می‌نامیم اگر

$$\ddot{x} = g(x, \dot{x}) \quad (20.1)$$

در مکانیک، مورد اول نیرویی را نشان می‌دهد که از یک پتانسیل ناشی شده است و فقط به مکان بستگی دارد و در مورد دوم نیرو به سرعت نیز وابسته است. در مورد اول (سیستم پایستار) انرژی کل پایسته است.

۲۰.۱ دسته‌بندی نقاط بحرانی

فرض کنیم که سیستم ۲۰.۱ در $a = x$ نقطه بحرانی دارد، در این حالت بسط تیلور در همسایگی a به صورت زیر خواهد بود:

$$\dot{x} = X(x, t) = \left. \frac{\partial X}{\partial x}(x, t) \right|_{x=a} (x - a) + O(|x - a|^2). \quad (21.1)$$

اگر جمله اول بسط ۲۱.۱ را در نظر بگیریم، یعنی ما سیستم ۲۰.۱ را با تقریب خطی اش جایگزین کردہ‌ایم. بعده خواهیم دید که تقریب خطی، معنادار و پراز اطلاعات در مورد جواب سیستم پیچیده است. در حالتی که سیستم کاملاً مستقل از زمان است، ماتریس مربعی $m \times m$ ، که به صورت $(\partial X / \partial x)|_{x=a}$ مشخص می‌کنیم، درایه‌های ثابت خواهد داشت. در این حالت مرسوم است که با جابجایی محورهای مختصات، نقطه بحرانی را به مبدأ انتقال دهیم.

بنابراین بدون از دست دادن کلیت مسئله، خودمان را به بررسی سیستمی مستقل از زمان با نقطه‌ای